

## РАСЧЕТ МАНЕВРОВ КОРРЕКЦИИ СЛАБОЭЛЛИПТИЧЕСКИХ ОРБИТ С ДВИГАТЕЛЕМ МАЛОЙ ТЯГИ

### 1. Математическая модель движения

Рассматривается задача плоской коррекции слабоэллиптической орбиты (большой полуоси, эксцентриситета и аргумента перигея) с помощью двигателя малой тяги (ДМТ). Управление движением центра масс космического аппарата (КА) осуществляется с помощью последовательности чередующихся активных и пассивных участков полета. На активных участках реализуется включение нерегулируемого ДМТ, создающего постоянную по величине тягу, вектор которой ориентируется вдоль трансверсали в положительном или отрицательном направлении. Структура управления на витке включает два активных участка, с трансверсальным ускорением одного знака, центры которых разнесены на угол  $\pi$  по эксцентрической аномалии. Между активными участками располагаются два одинаковых пассивных (рисунок 1). Суммарная длительность пассивных участков на витке считается заданной и постоянной в течение маневра.

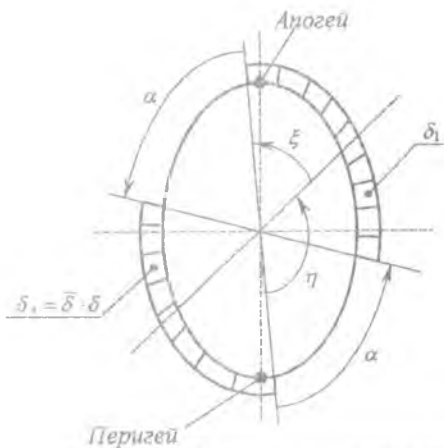


Рисунок 1 – Структура управления на витке

В качестве параметров управления вводятся следующие величины:  $\xi$  – половина ширины первого активного участка со знаком тяги  $\delta_1$  с эксцентрической аномалией его центра  $\eta$ ,  $\bar{\delta}$  – отношение знаков тяг активных участков,  $\alpha = \alpha ml$  – ширина одного пассивного участка. Размеры участков измеряются по эксцентрической аномалии.

Отметим, что подобная структура управления, включающая разгонный и тормозной участки, была получена в работах [1,2,3,4]. Однако, как показали исследования, при определенных граничных условиях и наличии пассивных участков на витке коррекция орбиты при данной структуре управления невозможна. Установлено, что в этом случае маневр может быть осуществлен при наличии на витке двух активных участков одного знака. Для принятой в данной работе структуры управления, являющейся универсальной относительно граничных условий и длительности пассивных участков на витке, описанные варианты являются частными случаями.

Введем некоторые допущения. Будем полагать, что ускорение тяги  $w$  много меньше гравитационного ( $w/g < 10^{-4}$ ), постоянно (в силу малости расхода рабочего тела) и направлено по трансверсали так, что:

$$w = w_0 \delta ; \frac{\mu}{A^2} \gg \frac{w_0}{e},$$

где  $w_0 = P/m_0$  – величина ускорения,  $P$  – тяга двигательной установки,  $m_0$  – начальная масса КА,  $\delta \in [+1, 0, -1]$  – функция включения тяги,  $\mu$  – гравитационный параметр,  $A$ ,  $e$  – большая полуось и эксцентриситет орбиты, соответственно.

С учетом принятых допущений уравнения движения спутника в центральном гравитационном поле под действием трансверсальной составляющей реактивного ускорения  $w$  можно записать в виде [5]:

$$\begin{aligned}
 \frac{dA}{dE} &= \frac{2A^3}{\mu} \sqrt{1-e^2} w, \\
 \frac{de}{dE} &= \frac{A^2}{\mu} \sqrt{1-e^2} (2 \cos E - e \cos^2 E - e) w, \\
 \frac{d\omega}{dE} &= \frac{A^2}{\mu e} \sin E (2 - e^2 - e \cos E) w, \\
 \frac{dV_x}{dE} &= \sqrt{\frac{A^3}{\mu}} (1 - e \cos E) w, \\
 \frac{dt}{dE} &= \sqrt{\frac{A^3}{\mu}} (1 - e \cos E),
 \end{aligned} \tag{1}$$

где  $\omega$  — аргумент перигея,  $E$  — эксцентрическая аномалия.

Проведем для данной системы уравнений процедуру усреднения. С учетом введенных параметров управления после интегрирования и перехода к независимой переменной  $t$  будем иметь:

$$\begin{aligned}
 \frac{dA}{dt} &= \frac{2w_0}{\pi} \sqrt{\frac{A^3}{\mu}} \sqrt{1-e^2} \delta_1 \left[ \xi + \bar{\delta}(\pi - \alpha - \xi) \right], \\
 \frac{de}{dt} &= \frac{w_0}{2\pi} \sqrt{\frac{A}{\mu}} \sqrt{1-e^2} \delta_1 \left\{ -3e \left[ \xi + \bar{\delta}(\pi - \alpha - \xi) \right] + 4s_1 \cos \eta - \frac{e}{2} s_2 \cos 2\eta \right\}, \\
 \frac{d\omega}{dt} &= \frac{w_0}{2\pi e} \sqrt{\frac{A}{\mu}} \delta_1 \left\{ 2(2-e^2) s_1 \sin \eta - \frac{e}{2} s_2 \sin 2\eta \right\}, \\
 \frac{dV_x}{dt} &= w_0 \left\{ 1 - \frac{\alpha}{\pi} + \frac{2}{\pi} e \cos \eta \sin \frac{\alpha}{2} \cos \left( \xi + \frac{\alpha}{2} \right) \right\},
 \end{aligned} \tag{2}$$

где  $s_1 = \sin \xi - \bar{\delta} \sin(\xi + \alpha)$ ,  $s_2 = \sin 2\xi - \bar{\delta} \sin 2(\xi + \alpha)$ .

Известно, что на вековую эволюцию орбиты сильное влияние оказывает нецентральность гравитационного поля Земли. Если в разложении геопотенциала учесть только вторую зональную гармонику, то ее влияние на скорость смещения перигея будет характеризоваться величиной производной  $(d\omega/dt)_g$  [5]:

$$\left( \frac{d\omega}{dt} \right)_g \approx \frac{\varepsilon (5 \cos^2 i - 1)}{2 \sqrt{\mu} A^{3.5}}.$$

где  $\varepsilon = 2,634 \cdot 10^{10} \frac{\text{км}^5}{\text{с}^2}$ .

Отбросив в уравнениях движения (2) члены, содержащие малый множитель  $e$ , усредненная математическая модель вековой эволюции слабоэллиптической орбиты в поле земного сфероида будет иметь вид:

$$\begin{aligned} \frac{dA}{dt} &= \frac{2w_0}{\pi} \sqrt{\frac{A^3}{\mu}} \delta_1 \left[ \xi + \bar{\delta} (\pi - \alpha - \xi) \right], \\ \frac{de}{dt} &= \frac{2w_0}{\pi} \sqrt{\frac{A^3}{\mu}} \delta_1 \left[ \sin \xi - \bar{\delta} \sin(\xi + \alpha) \right] \cos \eta, \\ \frac{d\omega}{dt} &= \frac{2w_0}{\pi e} \sqrt{\frac{A^3}{\mu}} \delta_1 \left[ \sin \xi - \bar{\delta} \sin(\xi + \alpha) \right] \sin \eta + \frac{\varepsilon(5 \cos^2 i - 1)}{2\sqrt{\mu} A^{3.5}}, \\ \frac{dV_x}{dt} &= w_0 \left\{ 1 - \frac{\alpha}{\pi} \right\} \end{aligned} \quad (3)$$

## 2 Построение аналитических решений

С целью получения аналитических решений будем считать, что длительности активных участков и их расположение на витке, то есть параметры  $\xi$  и  $\eta$ , не изменяются в процессе маневра. В этом случае задача определения управления элементами орбиты  $A$ ,  $e$  и  $\omega$  сводится к решению двухпараметрической краевой задачи относительно параметров управления  $\xi = const$  и  $\eta = const$  для системы дифференциальных уравнений (3) при следующих граничных условиях:

$$\begin{aligned} t=0, \quad A=A_0, \quad e=e_0, \quad \omega=\omega_0, \\ t=t_k, \quad A=A_k, \quad e=e_k, \quad \omega=\omega_k. \end{aligned} \quad (4)$$

При этом параметры  $\delta_1$  и  $\bar{\delta}$ , определяющие направления вектора тяги на активных участках, выбираются исходя из граничных условий и продолжительности пассивных участков на витке.

С учетом принятых допущений система уравнений (3) интегрируются аналитически. Параметры управления определяются из системы уравнений

$$\left. \begin{aligned} \xi &= k \left[ \sin \xi - \bar{\delta} \sin(\xi + \alpha) \right] \cos \eta - \bar{\delta} (\pi - \alpha - \xi), \\ \eta &= \arctg \left[ \frac{\Delta \omega_0}{\ln(e_k / e_0)} \right] \end{aligned} \right\} \quad (5)$$

$$\text{где } \dot{k} = \dot{A}_k \frac{A_0}{A_0} (e_k - e_0), \quad \Delta\omega_e = \Delta\omega - \Delta\omega_k, \quad \Delta\omega_k = -\frac{\pi B \sqrt{\mu}}{8w_0 \delta_1 [\xi - \bar{\delta}(\pi - \alpha - \xi)]} \left[ \frac{1}{A_k^4} - \frac{1}{A_0^4} \right],$$

$$B = \frac{\varepsilon(5\varepsilon\cos^2 i - 1)}{2\sqrt{\mu}}$$

Произведя преобразование системы (5) с учетом ограничения  $0 \leq \xi \leq \pi - \alpha$ , окончательно получаем

$$\bar{\delta} = 1 - \left| \frac{\pi - \alpha}{k \cos \eta \sin \alpha} \right|, \quad \delta_1 = \frac{1 + \bar{\delta}}{2} \text{sign} \Delta A + \frac{1 - \bar{\delta}}{2},$$

$$\xi = \arccos \left( \frac{\pi - \alpha}{2k \cos \eta \sin \frac{\alpha}{2}} \right) - \frac{\alpha}{2}, \quad \text{при } \bar{\delta} = 1,$$

$$\xi = \frac{\pi - \alpha}{2} + k \sin \left( \xi + \frac{\alpha}{2} \right) \cos \frac{\alpha}{2} \frac{\ln(e_k / e_0)}{\sqrt{\ln^2(e_k / e_0) + \Delta\omega_e^2}}, \quad \text{при } \bar{\delta} = -1, \quad (6)$$

$$\eta = \arctg \left[ \frac{\Delta\omega_e}{\ln(e_k / e_0)} \right].$$

Таким образом, в случае активных участков одного знака их длительность определяется в явном виде, а в случае противоположных – в результате решения трансцендентного уравнения.

После определения параметров управления можно вычислить время маневра  $t_x$  и затраты характеристической скорости  $V_x$ . Из 1-го и 4-го уравнений системы (3) находим:

$$t_x = \frac{\sqrt{\mu}}{w_0} \left( \frac{1}{\sqrt{A_0}} - \frac{1}{\sqrt{A_k}} \right) \delta_1 \frac{\pi}{\xi + \bar{\delta}(\pi - \alpha - \xi)}, \quad (7)$$

$$V_x = \sqrt{\mu} \left( \frac{1}{\sqrt{A_0}} - \frac{1}{\sqrt{A_k}} \right) \delta_1 \frac{\pi - \alpha}{\xi + \bar{\delta}(\pi - \alpha - \xi)}. \quad (8)$$

По полученным аналитическим решениям были построены изолинии затрат характеристической скорости  $V_x$  на маневр в плоскости корректируемых параметров  $\Delta A$  и  $\Delta e$  (рисунк 2) для нескольких значений требуемого изменения аргумента перигея  $\Delta\omega_e$  под действием тяги ДМТ при следующих исходных данных: высота апогея исходной орбиты – 1000 км, высота перигея – 360 км ( $A_0=7058$  км,  $e_0=0,04534$ ), суммарная длительность пассивных участков на витке  $\alpha = 120^\circ$ . Тонкие линии разделяют плоскость корректируемых параметров на области, где управление на витке будет состоять из активных участков одного ( $\bar{\delta} = 1$ ) и проти-

воположных знаков ( $\bar{\delta} = -1$ ). Как видно, области управления 1-го типа вытянуты вдоль оси, соответствующей изменению большой полуоси орбиты. Таким образом, управление на витке будет иметь активные участки одного знака в случае преимущественной коррекции большой полуоси  $\Delta A$  и противоположных знаков при значительных коррекциях эксцентриситета  $\Delta e$  и аргумента перигея  $\Delta \omega_p$ . Изолинии  $V_x$  для управления 1-го типа – прямые линии, в этом случае энергетические затраты зависят только от требуемого изменения большой полуоси орбиты и не зависят от необходимых приращений эксцентриситета и аргумента перигея, коррекция которых осуществляется “автоматически” при соответствующем расположении активных участков на витке относительно линии апсид. При управлении 2-го типа затраты  $V_x$  будут функцией всех трех корректируемых параметров:  $\Delta A$ ,  $\Delta e$  и  $\Delta \omega_p$ . Изолинии имеют точки излома, соответствующие решению задачи с одним активным участком на витке.

Для оценки методических погрешностей полученных аналитических решений проводилось численное моделирование межорбитальных переходов на модели движения в оскулирующих элементах. При моделировании учитывались возмущения от нецентральности гравитационного поля Земли. Интегрирование системы дифференциальных уравнений проводилось методом Рунге-Кутты 4-го порядка до заданного значения характеристической скорости  $V_x = 100$  м/с. Значения параметров управления вычислялись по уравнениям (6). Построенная в результате расчетов область достижимости, изображенная на рисунке 2 пунктирными линиями, мало отличается от соответствующей области, построенной по аналитическим решениям.

Таким образом, полученные аналитические решения являются достаточно точными и могут быть использованы на стадии оценки баллистических характеристик маневров КА с двигателем малой тяги.

## БИБЛИОГРАФИЧЕСКИЙ СПИСОК

1. Салмин В.В., Соколов В.О. Приближенный расчет маневров формирования орбиты спутника Земли с двигателем малой тяги // Космич. исслед. 1991. Т.29. №6.
2. Салмин В.В. Оптимизация космических перелетов с малой тягой. Проблемы совместного управления траекторным и угловым движением. М.: Машиностроение, 1987.
3. Юрин В.В. Оптимальная коррекция параметров орбиты космического аппарата с двигателем малой тяги // Космич. исслед. 1983. Т.21. №5.

4 Ишков С.А. Расчет оптимальных межорбитальных перелетов с малой трансверсальной тягой на эллиптическую орбиту // Космич. исслед. 1997. Т.35. №2.

5 Эльясберг П.Е. Введение в теорию полета искусственных спутников Земли. М.: Наука, 1965

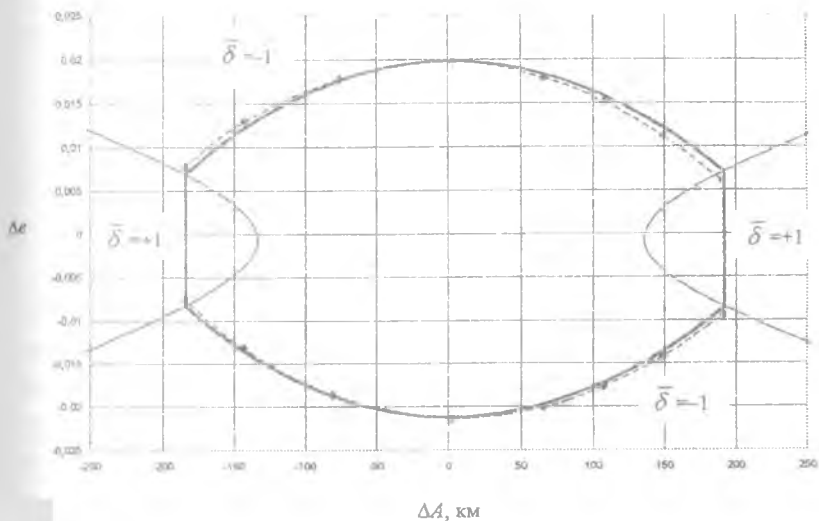


Рисунок 2 – Область корректируемых параметров